

628.01(07)

МІНІСТЕРСТВО ОСВІТИ УКРАЇНИ  
СУМСЬКИЙ ДЕРЖАВНИЙ УНІВЕРСИТЕТ

К 65

КОНСПЕКТ ЛЕКЦІЙ  
з дисципліни "Теорія механізмів  
і машин"  
РОЗДІЛ 4. СПОСІБ ДОСЛІДЖЕННЯ  
ПЛОСКИХ МЕХАНІЗМІВ  
РОЗДІЛ 5. ДИНАМІКА АНАЛІЗ і  
СИНТЕЗ ПЛОСКИХ МЕХАНІЗМІВ  
для студентів машинобудівних  
спеціальностей денної форми  
навчання

Затверджено  
на засіданні кафедри як  
конспект лекцій  
з дисципліни "Теорія  
механізмів і машин" для  
машинобудівних  
спеціальностей  
Протокол № 6 від 1.02.1984

### Список литературы

1. Артоболевский И.И. Теория механизмов и машин.-М.: Наука, 1988. - 640 с.
2. Левитский Н.И. Теория механизмов и машин.-М.: Наука, 1979. - 575с.
3. Фролов К.В. и др. Теория механизмов и машин.-М.: Высшая школа, 1987. - 496 с.
4. Баранов Г.Г. Курс теории механизмов и машин. -М.: Машиностроение, 1975.- 495 с.
5. Кожевников С.Н. Теория механизмов и машин. -М.: Машиностроение, 1973.- 591 с.

## •Розділ 4. СИЛОВЕ ДОСЛІДЖЕННЯ ПЛОСКИХ МЕХАНІЗМІВ

### 4.1. ЗАГАЛЬНА ВІДОМОСТІ

При силовому дослідження механізмів вирішуються такі задачі:

- визначення сил, діючих на ланки механізму;
- визначення реакцій в кінематичних парах;
- визначення зрівноважувального моменту або зрівноважувальних сил на ведучій ланці.

Результати силового дослідження потрібні при розрахунку ланок і елементів кінематичних пар на міцність і визначені рациональних конструктивних форм ланок.

Силовий розрахунок механізму проводиться методом наближено, без врахування сил третього, а все сили, що діють на ланки механізму, вважаються розміщеніми в одній площині.

Під зрівноважувальними силами або моментами розуміють ті навісомі сили або моменти, які прикладені до ведучої ланки і зрівноважують систему усіх зовнішніх сил та пар сил і всіх сил інерції та пар сил інерції.

При силовому розрахунку механізмів користуються принципом Даламсера, який формулюється так: якщо закон руху матеріальної системи відомий, то, приєднувши до точок цієї системи, крім заданих сил, також фіктивні сили інерції, можна розглядати цю систему такою, що умовно перебуває у рівновазі, і визначити навісомі сили методами статики, тобто за допомогою рівнянь рівноваги. Таким чином, силовий метод розрахунку, який ґрунтуються на принципі Даламбера, полягає в перенесенні методів статики у розв'язання задач динаміки механізмів. Рішення задач динаміки засобами статики має назву кінетостатики. Тому силовий розрахунок механізмів часто називають кінетостатичним. Врахування сил інерції особливо важливе в сучасних швидкохідних машинах, де вони досягають великих значень.

### 4.2. СИЛИ І ЇХ КЛАСИФІКАЦІЯ

Діючі в механізмах сили поділяються на :

- групінні сили;
- сили корисних спорів;
- сили шкідливих опорів;
- сили тяжіння;
- сили "нерви";
- сили реакції.

Реакції - це сили, що намагаються прискорити рух механізмів.

му. Рушійні сили створюються двигунами, які здійснюють перетворення якогось виду енергії /теплової, електричної, гідрравлічної та ін./ у механічну роботу. З напрямом швидкостей точок прикладання цих сил вони утворюють гострий кут; зокрема, цей кут може дорівнювати нулю. Елементарна робота, що здійснюється рушійною силовою на елементарному переміщенні  $ds$ , завжди додатна

$$dA_p = F_p \hat{d}s \cos(\hat{F}_p, \vec{\theta}).$$

Отже, рушійна сила  $F_p$  збільшує енергію машини.

Сили корисних опорів. Сили корисних /виробничих/ опорів - це зусилля, для переборювання яких призначена машина /сили опору різання в металообробних верстатах, опору, що виникає при стисканні газу чи повітря у компресорах та ін./. Сили виробничих опорів з напрямом швидкості точок їх прикладання утворюють тупий кут або, зокрема, кут, що дорівнює  $180^\circ$ .

Елементарна робота, що здійснюється силовою корисних опорів  $F_{ko}$  на елементарному переміщенні  $ds$ , від'ємна

$$dA_{ko} = F_{ko} \hat{d}s \cos(\hat{F}_{ko}, \vec{\theta}).$$

Сила  $F_{ko}$  зменшує кінетичну енергію машини.

Сила шкідливих опорів. До сил шкідливих /невиробничих/ опорів належать сили тертя в кінематичних парах машин і сили опору повітряного чи рідинного середовища переміщення ланок.

Елементарна робота шкідливих опорів від'ємна.

Сили рушійні і сили корисних опорів залежно від їх меканічних, фізичних і технологічних характеристик можуть бути сталими чи функціями різних кінематичних параметрів - переміщень, швидкостей, прискорень і часу.

Сили тяжіння. Ці сили - часіпідкому взаємодії кожної частинки ланки з землею. Робота  $A_G$  сили тяжіння  $G$ , що визначається матеріалом та конструкцією ланки, на деякому переміщенні  $h$  центра ваги, що відлічується по вертикалі

$$A_G = \pm Gh.$$

Ця робота додатна, якщо напрям проекції переміщення центра ваги замінити на напрям сили  $G$  збігається з напрямом останньої, і від'ємна, якщо ці напрями протилежні.

Сили інерції. Сили інерції виникають, коли швидкості змінюються за величинною чи напрямом. Доказано ці сили будуть розглянуті нижче.

Сили реакцій. Сили взаємодії ланок, що виникають у місцях їх

лотику, називають реакціями в кінематичних парах. У парі, де дотик елементів здійснюється по площі кінцевих розмірів, завдання визначення положення рівновідної реакції є статично невизначеним, оскільки він не відомий закон розподілу цієї сили на плоші. Щоб задачу визначення реакції в кінематичних парах зробити статично визначеною, вважаємо, що тиск у парах розподіляється рівномірно по прилеглих поверхнях, які в першому наближенні вважатимемо абсолютно гладкими /тобто будемо вести розрахунок без урахування сил тертя/.

Напрям рівновідної тиску у парі приймається по спільній нормалі до дотичних поверхонь. Таким чином, результатуюча тиску на циліндричній поверхні обертальної пари проходить через центр шаріра. Величина і лікія дії цієї рівновідної не відомі, бо вони залежать від величини і напряму заданих сил, що діють на ланки пари /рис. 4.1/. У поступальний парі результатуюча реакція направлена перпендикулярно до напрямів, але величина і точка прикладання її не відомі /рис. 4.2/.

### 4.3. СИЛИ ІНЕРЦІЇ

З курсу теоретичної механіки відомо, що сили інерції елементарник мас ланки в загальному виглядку складного руху зводиться до рівновідної сили інерції і моменту сил інерції.

Рівновідна сила інерції визначається за формулой

$$F_{in} = -m \ddot{a}_s, \quad 14.1/$$

де  $m$  - маса ланки;  $\ddot{a}_s$  - вектор повного прискорення центра мас ланки.

Напрям сили інерції  $F_{in}$  протилежний напряму вектора  $\ddot{a}_s$ .

Момент  $M_{in}$  пари сил інерції спрямований протилежно кутовому прискоренню  $\varepsilon$  ланки і може бути визначений за формулой

$$M_{in} = -J_s \varepsilon, \quad 14.2/$$

де  $J_s$  - момент інерції маси ланки відносно центра мас  $S$ .

Розглянемо деякі окремі випадки руху ланок механізму.

1-й випадок. Нерівномірне обертання ланки навколо осі, що проходить через його центр ваги  $S$ . Сила інерції  $F_{in} = 0$ , а момент сил інерції  $M_{in} = -J_s \varepsilon$  /рис. 4.3/. Такий випадок може мати місце, наприклад, у нерівномірно обертових деталях /шківи, барабан, ротори/, центр мас яких розташований на осі обертання. При рівномірному обертанні цих деталей масмо  $F_{in}$  і  $M_{in}$ .

2-й випадок. Ланка нерівномірно обертатиметься навколо осі, яка не проходить через її центр мас  $S$  /рис. 4.4/.

Сила інерції  $F_{IH} = -Mg$ , лінія дії якої проходить через центр ваги  $S$  ланки, а напрям протилежний напряму вектора  $\alpha_s$ . Момент сил інерції  $M_{IH} = -J_s \epsilon$ , спрямований проти  $\epsilon$  кутовому прискорення  $\epsilon$ .

При рівномірному обертальному русі ланки, вісь обертання  $O$  якої не збігається з центром ваги  $S$ , сила інерції складається лише із сили інерції ланки, яка напрямлена по лінії  $OS$  протилежно напряму вектора нормального прискорення центра ваги  $S$  ланки. Вінцентрова сила інерції

$$F_{IH} = -m\alpha_s^n = -m\omega^2 \cos \theta. \quad 14.3$$

При нерівномірному обертанні ланки навколо осі  $O$  силу інерції  $F_{IH}$  і момент сил інерції  $M_{IH}$  можна замінити однією результуючою силою  $F_{IK}$ . Для цього момент пари сил інерції  $M_{IH}$  замінимо системою двох рівних за модулем антипаралельних сил  $F_{IH}$  і  $-F_{IH}$  (рис. 4.1). Влече  $\frac{1}{2}$  утвореної пари сил визначається співвідношення

$$h = \frac{M_{IH}}{F_{IH}} = \frac{J_s \epsilon}{m\alpha_s}. \quad 14.4$$

Силу  $(-F_{IH})$  після пари прикладено у центрі мас  $S$ . Тоді лінія дії сили  $F_{IH}$  проходить через центр точку  $K$  ланки. Оскільки прямі, які проходять через центр мас  $S$  і від рівні і протилежно напрямлені сили інерції, взаємно зрівноважуються, то в результаті залишається одна сила  $F_{IK}$ , прикладена у точці  $K$  ланки. Цю точку називають центром кочення.

Визначимо положення точки  $K$ . Підставивши у формулу 14.4 замість кутового прискорення  $\epsilon$  його значення, що визначається рівності

$$\epsilon = \frac{\alpha_s^n}{\cos \theta},$$

матимемо

$$h = \frac{J_s \alpha_s^n}{m\alpha_s \cos \theta} = \frac{J_s}{m \cos \theta} \sin \theta,$$

де  $\overline{\alpha}_s = \bar{\alpha}_s^n + \bar{\alpha}_s^t$ ; величина  $\alpha_s$  дорівнює  $\alpha_s = \cos \theta \sqrt{\omega^2 + \epsilon^2}$ .

Відстань  $L_{SK}$  нерівною є (дивись рис. 4.4)

$$L_{SK} = \frac{h}{\sin \theta}.$$

Тепер остаточно

$$L_{SK} = \frac{J_s}{m \cos \theta} \quad 14.5$$

або  $L_{OK} = L_{SK} + \frac{J_s}{m \cos \theta} \quad 14.6$

З після формул випливає, що величина  $L_{OK}$  для даної ланки є

величина стала і не залежить від  $\gamma\gamma$  положення. Крім того, центр ковзання  $K$  розташований завжди далі від осі обертання, ніж центр мас  $S$ .

Момент сил інерції  $M_{in}$  можна також замінити системою двох рівних за модулем антипаралельних сил  $F'$  і  $F''$ . Приймаємо за плеце пари цих сил довжину ланки  $l_{OA}$ . Тоді

$$F' = F'' = \frac{M_{in}}{l_{OA}}$$

На рис. 4.4 зображені сили  $F'$  і  $F''$ . Таким чином, на ланку будуть діяти три сили: сила  $F_{in}$ , яка прикладена у центрі мас  $S$ , сили  $F'$  і  $F''$ , прикладені відповідно в точках  $A$  і  $O$ .

Завдання. Ланка рухається поступально. Тоді  $\gamma\gamma$  кутове прискорення  $\varepsilon = 0$ , отже, момент  $M_{in}$  сил інерції дорівнюватиме нуль, і усі сили інерції матеріальних точок зводяться до однієї результуючої  $F_{in}$ , лінія дії якої проходить через центр ваги  $S$  ланки /рис. 4.5/. При рівномірному і прямолінійному русі ланки сила інерції  $F_{in} = 0$ .

Завдання. Загальний випадок плоского паралельного руху ланки. Прикладом може бути рух шатунів у механізмах. Сила інерції і момент сил інерції визначаються з формул 14.11 та 14.21. При заміні моменту сил інерції  $M_{in}$  парою сил  $F'$  і  $F''$  приймаємо за плеце утвореної пари сил довжину ланки  $l_{AB}$ . Тоді

$$F' = F'' = \frac{M_{in}}{l_{AB}}$$

Сили  $F'$  і  $F''$  зображені на рис. 4.6.

#### 4.4. УМОВИ СТАТИЧНОЇ ВІДОВЛЕНОСТІ КІНЕМАТИЧНОГО ЛАНЦЮГА

Для виконання силового розрахунку будь-якого кінематичного ланцюга необхідно, щоб він був статично визначений, тобто, щоб число рівнянь, які можна скласти для цього кінематичного ланцюга, дорівнювало числу невідомих. Тому, що будь-який механізм з вищими парами можна замінити механізмом з нижчими парами, то при визначенні умов статичної відодвленості можна обмежитися розглядом груп, ланки яких входять лише у нижчі пари.

Для кожної ланки плоского кінематичного ланцюга, як відомо з теоретичної механіки, можна написати три рівняння рівноваги, а для  $n$  ланок число усіх рівнянь рівноваги дорівнюватиме  $3n$ . Число невідомих параметрів, що визначають тиск у кінематичних парах, порівням за попереднім /рис.4.1 та 4.2/  $\mathcal{L}_{PF}$ , де  $P_F$  - кіль-

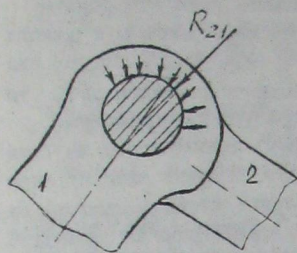


FIG. 4.1

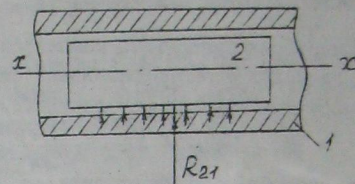


FIG. 4.2

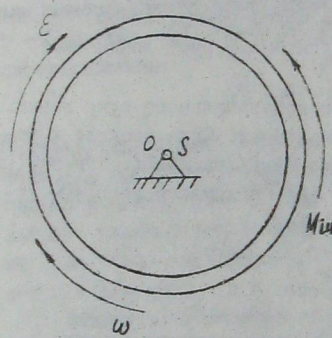


FIG. 4.3

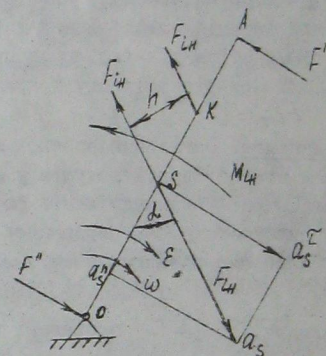


FIG. 4.4

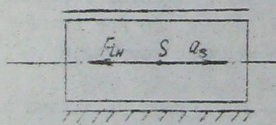


FIG. 4.5

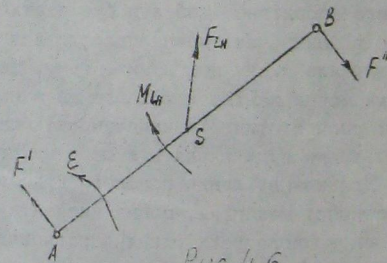


FIG. 4.6

кість низких пар. Тому кінематичний ланцюг буде статично визначеній, якщо задовільняється умова

$$3n = 2P_D.$$

Ця формула збігається із структурною формулюю груп Ассура, що відображає також умову їх кінематичної визначеності.

Таким чином, завдання визначеності реакцій в кінематичних парах груп Ассура є статично визначенім, тобто число рівнень, які можна скласти при розв'язанні цього завдання, дорівнює числу шуканих невідомих. Тобто, силовий розрахунок механізмів зводиться до розрахунку окремих груп Ассура.

#### 4.5. ВИЗНАЧЕННЯ РЕАКЦІЙ В КІНЕМАТИЧНИХ ПАРАХ ГРУП АССУРА

При розв'язуванні задач силового дослідження механізмів припускається, що закон руху ведучої ланки задано, а маси і моменти інерції решти ланок механізму відомі; усі зовнішні сили і моменти сил також будемо вважати відомими.

Силовий розрахунок механізмів проводитимемо наближено, без врахування сил тертя, а це значить, що сила взаємодії між двома ланками завжди направлена по нормальні до поверхні їх стикання.

Найзручніше проводити силовий розрахунок механізмів за методом планів сил. При силовому розрахунку механізм розчленовується на окремі групи відповідно до прийнятої класифікації; при цьому треба додержуватись загальновідомого порядку силового розрахунку від'єднаних груп, який буде зворотним до порядку кінематичного дослідження. Отже, силовий розрахунок починається з розрізання групи, що приєднана останньою в процесі утворення механізму, і закінчується розрахунком ведучої ланки початкової групи.

Розглянемо силовий розрахунок груп Ассура II класу другого порядку усіх видів.

Група Ассура II класу другого порядку I-го виду /рис. 4.7, а/.

Нехай до ланок 2 і 3 групи прикладені відповідно сили  $F_2$  та  $F_3$  і моменти сил  $M_2$  та  $M_3$ . Ініційні дії, величини і точки прикладення обох сил задано. До складу сила та моментів сил входять сили інерції та моменти сил інерції ланок. Виділяючи з механізму групу єбо окрему ланку, треба дію від'єднаній його частин замінити реакціями, прикладеними до відповідних елементів кінематичних пар. Ці реакції матимуть позначений підрядковий індекс. Так, силу, що діє на ланку з номером  $i$  з боку ланки з номером  $K$ , позначимо  $R_{IK}$ . Треба

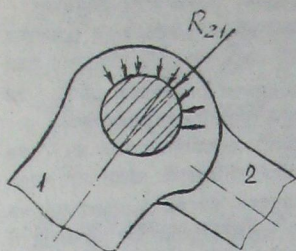


FIG. 4.1

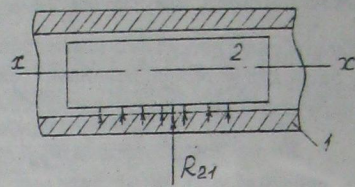


FIG. 4.2

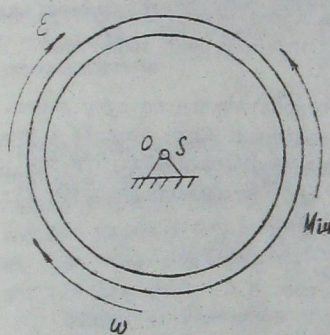


FIG. 4.3

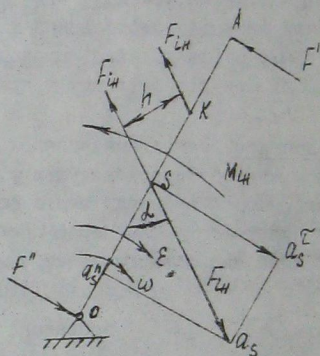


FIG. 4.4

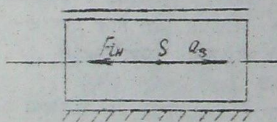


FIG. 4.5

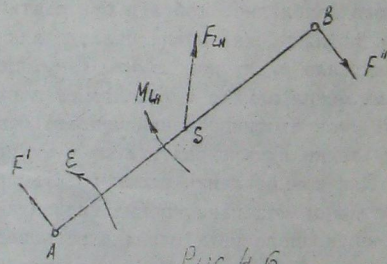


FIG. 4.6

кількість низких пар. Тому кінематичний ланцюг буде статично визначений, якщо задовільняється умова

$$3n = 2P_D.$$

Ця формула збігається із структурною формулюю груп Ассура, що відображає також умову їх кінематичної визначеності.

Таким чином, завдання визначеності реакцій в кінематичних парах груп Ассура є статично визначенім, тобто число рівнянь, які можна скласти при розв'язанні цього завдання, дорівнює числу шуканих невідомих. Тобто, силовий розрахунок механізмів зводиться до розрахунку окремих груп Ассура.

#### 4.5. ВИЗНАЧЕННЯ РЕАКЦІЙ В КІНЕМАТИЧНИХ ПАРАХ ГРУП АССУРА

При розв'язуванні задач силового дослідження механізмів припускається, що закон руху ведучої ланки задано, а маси і моменти інерції решти ланок механізму відомі; усі зовнішні сили і моменти сил також будемо вважати відомими.

Силовий розрахунок механізмів проводитимемо наближено, без врахування сил тертя, а це значить, що сила взаємодії між двома ланками завжди направлена по нормальні до поверхні їх стикання.

Найзручніше проводити силовий розрахунок механізмів за методом планів сил. При силовому розрахунку механізм розчленовується на окремі групи відповідно до прийнятої класифікації; при цьому треба додержуватись загальносвідомого порядку силового розрахунку від'єднаних груп, який буде зворотним до порядку кінематичного дослідження. Отже, силовий розрахунок починається з розрахунку групи, що приєднана останньою в процесі утворення механізму, і закінчується розрахунком ведучої ланки початкової групи.

Розглянемо силовий розрахунок груп Ассура II класу другого порядку усіх видів.

Група Ассура II класу другого порядку I-го виду /рис. 4.7, а/.

Нехай до ланок 2 і 3 групи прикладені відповідно сили  $F_2$  та  $F_3$  і моменти сил  $M_2$  та  $M_3$ . Ініційні дії, величини і точки прикладення обох сил задано. До складу сили та моментів сил входять сили інерції та моменти сил інерції ланок. Виділюючи з механізму групу єбо окрему ланку, треба дія від'єднаній його частин замінити реакціями, прикладеними до відповідних елементів кінематичних пар. Ці реакції матимуть позначення підрядковий індекс. Так, силу, що діє на ланку з номером  $i$  з боку ланки з номером  $K$ , позначимо  $R_{IK}$ . Треба

визначити сили взаємодії ланок між собою, тобто реакцію  $R_{32}$  або  $R_{23}$  у шарнірі  $B$ , і тиску на ланки 2 і 3 з боку від'єднаних ланок 1 і 4 механізму, тобто реакції  $R_{21}$  і  $R_{34}$  в шарнірах  $A$  і  $C$ . Визначення реакцій в кінематичних парах групи Ассура проводимо в такій послідовності.

I. Розкладаємо реакції  $R_{21}$  і  $R_{34}$  на дві складові: нормальну складову, яка направлена вздовж осі ланки, і тангенціальну складову, яка перпендикулярна до осі ланки /рис. 4.7, а/.

$$\bar{R}_{21} = \bar{R}_{21}^n + \bar{R}_{21}^t;$$

$$\bar{R}_{34} = \bar{R}_{34}^n + \bar{R}_{34}^t.$$

2. Визначаємо величини тангенціальних складових реакцій, для чого складаємо для кожної ланки рівняння моментів відносно точки  $B$ .

Для ланки 2

$$R_{21}^t l_{AB} + F_2 l_{h_2} - M_2 = 0,$$

звідки

$$R_{21}^t = \frac{M_2 - F_2 l_{h_2}}{l_{AB}}.$$

Для ланки 3

$$R_{34}^t l_{BC} + F_3 l_{h_3} - M_3 = 0,$$

звідки

$$R_{34}^t = \frac{M_3 - F_3 l_{h_3}}{l_{BC}}.$$

Дійсні величини плечей  $l_{h_2}$  і  $l_{h_3}$  визначаються за формулами:

$$l_{h_2} = [h_2] \mu_e; \quad l_{h_3} = [h_3] \mu_e,$$

де  $[h_2]$  і  $[h_3]$  - величини плечей, змірювані з креслення;

$\mu_e$  - масштабний коефіцієнт довжин.

При визначенні тангенціальна складова може бути від'ємна. Це означає, що в дійсності вона направлена в протилежний бік /чи реакції на розрахунковій схемі направляли довільно/.

3. Визначаємо величини нормальні складових реакцій, тобто  $R_{21}^n$  і  $R_{34}^n$ . Для цього складаємо рівняння рівноваги групи Ассура. Векторна сума усіх сил, діючих на групу, дорівнює нулю

$$\bar{R}_{21} + \bar{F}_2 + \bar{F}_3 + \bar{R}_{34} = 0$$

або

$$\underline{\bar{R}_{21}^n + \bar{R}_{21}^t + \bar{F}_2 + \bar{F}_3 + \bar{R}_{34}^n + \bar{R}_{34}^t} = 0$$

В цьому рівнянні два вектори  $\bar{R}_{21}^n$  і  $\bar{R}_{34}^n$  відомі тільки за напрямленістю /вони підкреслені однією рисковою/, останні вектори відомі повністю /вони підкреслені двома рисками/.

У відповідності до останнього рівняння будуємо план сил

/рис. 4.7,б/. Для цього у вибраному масштабі з довільної точки відкладаємо послідовно осі відомі вектори:  $\bar{R}_{21}^t$ ,  $\bar{F}_2$ ,  $\bar{F}_3$ ,  $\bar{R}_{34}^t$

/рис. 4.7,б/. Через початок вектора  $\bar{R}_{21}^t$  проводимо напрям вектора  $\bar{R}_{21}^n$  /паралельно ланцю 2/, а через кінець вектора  $\bar{R}_{34}^t$  - напрям вектора  $\bar{R}_{34}^n$  /паралельно ланцю 3/. Перетин цих напрямів визначає величину відрізків, які зображені у вибраному масштабі вектори  $\bar{R}_{21}^n$  і  $\bar{R}_{34}^n$ . Напрям цих векторів повинен бути таким, щоб при обході контура плану сил усі сили були непримілені в напрямі обходу. Далі складаємо на плані сил вектори  $\bar{R}_{21}^n$  і  $\bar{R}_{21}^t$ , а також  $\bar{R}_{34}^n$  і  $\bar{R}_{34}^t$  і дістаємо повні реакції  $\bar{R}_{21}$  і  $\bar{R}_{34}$ .

4. Визначаємо реакцію  $R_{23}$ . Для цього напишемо рівняння рівноваги сил, що діють на ланку 2. Матимемо

$$\underline{\bar{R}_{21}} + \underline{\bar{F}_2} + \underline{\bar{R}_{23}} = 0.$$

Єдиною в цьому рівнянні силою, якої ми не знаємо, є  $R_{23}$ . Її можна знайти безпосередньо з рівняння, побудувавши силовий трикутник. Для цього в плані сил /рис. 4.7,б/ досить сполучити кінець вектора  $\bar{F}_2$  з початком вектора  $\bar{R}_{21}$ . Цей відрізок у масштабі буде зображені реакцію  $R_{23}$ .

Група Ассура II класу другого порядку 2-го виду /рис. 4.8,а/.

Нехай на ланки 2 і 3 групи Ассура діють сили  $F_2$ ,  $F_3$  і момент сили  $M_2$ .

Визначення реакцій в кінематичних парах проводимо з наступному порядку.

1. Реакцію  $\bar{R}_{21}$ , прикладену в центрі шарніра A, розкладаємо на дві складові:  $\bar{R}_{21}^n$  і  $\bar{R}_{21}^t$ , напрямлені відповідно вздовж осі ланки 2 і перпендикулярно до неї.

До ланки 3 перпендикулярно напряму  $x-x$  відносно руху ланок 3 і 4 прикладаємо реакцію  $R_{34}$  з боку ланки 4. Реакція  $R_{34}$  діє в точці B, так як сила  $F_3$ , яка діє на повзун 3, проходить через цю точку.

2. Визначаємо величину складової  $R_{21}^t$ , для цього складаємо рівняння рівноваги у вигляді рівняння моментів усіх сил, що діють на ланку 2, відносно точки B.

$$\bar{R}_{21}^t l_{AB} - M_2 + F_2 l_h = 0,$$

звідки

$$\bar{R}_{21}^t = \frac{M_2 - F_2 l_h}{l_{AB}}.$$

3. Визначаємо реакції  $R_{21}^n$  і  $R_{34}$ . Для цього складаємо рівняння рівноваги групи 2,3, тобто прирівнюємо до нуля векторну суму усіх сил, що діють на групу. Маємо

$$\underline{\bar{R}_{21}^n} + \underline{\bar{R}_{21}^t} + \underline{\bar{F}_2} + \underline{\bar{F}_3} + \underline{\bar{R}_{34}} = 0.$$

Викі будемо вибраному масштабі  $M_F$  план сил /рис. 4.8, б/. Для цього з довільної точки послідовно відкладамо усі відокі вектори:  $\bar{R}_{21}^n$ ,  $\bar{F}_2$  і  $\bar{F}_3$ . Потім /згідно з рівнянням/ через початок вектора  $\bar{R}_{21}^n$  проводимо напрям вектора  $\bar{R}_{23}^n$ , а через кінець вектора  $\bar{F}_3$  - напрям вектора  $\bar{R}_{21}$ . Неретко: цих напрямів визначає величину відрізків, які зображені у вибраному масштабі  $M_F$  вектори  $\bar{R}_{21}^n$  і  $\bar{R}_{23}^n$ . Напрям цих векторів повинен бути таким, щоб при обході контуру плану сил усі сили були напрямлені в напрямі обходу. Далі складаємо на плані сил вектори  $\bar{R}_{21}^n$  і  $\bar{R}_{23}^n$  і дістаємо повну реакцію  $\bar{R}_{21}$ .

4. Визначаємо реакцію в проміжній кінематичній парі 2,3 /точка В/. Для цього у думці відкладаємо ланку 3 і в точці В до ланки 2 прикладаємо реакцію, діючу з боку ланки 3, -  $R_{23}$ . Сума сил, діючих на ланку 2, порівняємо з нулем.

$$\bar{R}_{21} + \bar{F}_2 + \bar{R}_{23} = 0.$$

У відповідності до цього векторного рівняння сподумавши на плані сил кінець вектора  $\bar{F}_2$  з початком вектора  $\bar{R}_{23}$ . Цей відрізок буде у масштабі  $M_F$  зображені шукану реакцію  $R_{23}$ . Напрям вектора легко визначається з векторного рівняння.

Група Ассура II класу другого порядку 3-го виду /рис. 4.9/.

Доведене розв'язання задач про визначення реакцій в групах Ассура II класу другого порядку 3,4 і 5-го видів робити не будемо. Покажемо жите порядок і послідовність розв'язання.

1. Розкладаємо реакцію  $\bar{R}_{21}$  на дві складові:  $\bar{R}_{21}^n$  і  $\bar{R}_{21}^t$ , напримір відповідно вздовж осі ланки 2 і перпендикулярно до неї

$$\bar{R}_{21} = \bar{R}_{21}^n + \bar{R}_{21}^t.$$

2. Складаємо рівняння моментів для ланок 2 і 3 відносно точки С.

$$\sum (M_C)_{2,3} = 0,$$

щоби визначити величину складової  $\bar{R}_{21}^t$ .

3. Складаємо векторне рівняння сил для ланки 3:

$$\sum (\bar{F}_i)_3 = 0.$$

Видаємо за цим рівнянням план сил, визначаємо реакцію  $R_{21}^n$ .

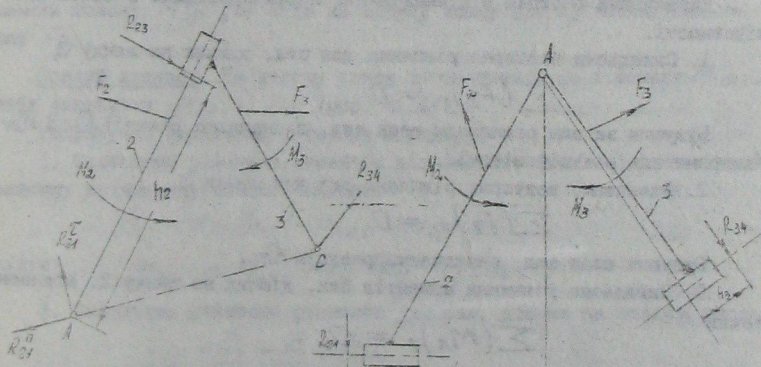
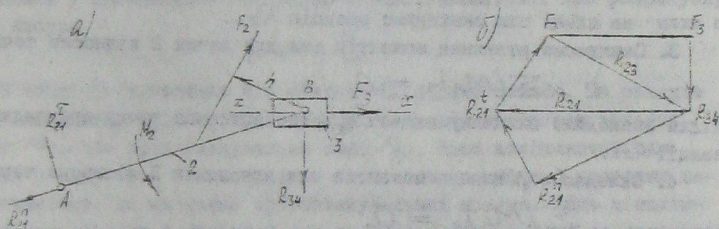
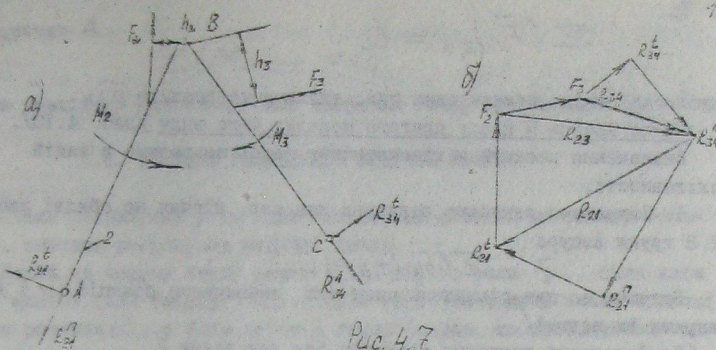
$R_{21}$  і  $R_{23}$ .

4. Складаємо рівняння моментів відносно точки А для ланки 2

$$\sum (M_A)_2 = 0,$$

щоби визначити величину  $R_{23}$ , яка називається точкою прикладання реакції  $R_{23}$ .

5. Складаємо векторне рівняння сил для сіл, діючих на групу Ассура



PUC. 4.10

$$\sum (\bar{F}_i)_{2,3} = 0.$$

Будуючи за цим рівнянням план сил, визначаємо реакцію  $R_{3y}$ .

Група Ассура II класу другого порядку 4-го виду /рис. 4.IO/.

Визначення реакцій в кінематичних парах проводимо в такій послідовності.

1. Складаємо векторне рівняння для сил, діючих на обидві ланки 2 і 3 групи Ассура

$$\sum (\bar{F}_i)_{2,3} = 0.$$

Будуючи за цим рівнянням план сил, визначаємо реакції  $R_{2x}$  і  $R_{3y}$  (напрями їх відомі).

2. Складаємо векторне рівняння сил для ланки 2

$$\sum (\bar{F}_i)_2 = 0,$$

за яким на плані сил знаходимо реакцію  $R_{23}$ .

3. Складаємо рівняння моментів сил для ланки 2 відносно точки A

$$\sum (M_A)_2 = 0,$$

звідки знаходимо величину плеча  $\ell h_2$ , яке визначає точку прикладання реакції  $R_{2x}$ .

4. Складаємо рівняння моментів сил для ланки 3 відносно точки A

$$\sum (M_A)_3 = 0,$$

звідки визначаємо величину плеча  $\ell h_3$ , яке характеризує положення лінії дії сили  $R_{3y}$ .

Група Ассура II класу другого порядку 5-го виду /рис. 4.II/.

Визначення реакцій в кінематичних парах проводимо в такій послідовності.

1. Складаємо векторне рівняння для сил, діючих на ланку 3,

$$\sum (\bar{F}_i)_3 = 0.$$

Будуючи за цим рівнянням план сил, визначаємо реакції  $R_{3z}$  і  $R_{3y}$  (напрями цих реакцій відомі).

2. Складаємо векторне рівняння сил для ланки 2

$$\sum (\bar{F}_i)_2 = 0.$$

Будуючи план сил, визначаємо реакцію  $R_{2x}$ .

3. Складаємо рівняння моментів сил, діючих на ланку 2, відносно точки A

$$\sum (M_A)_2 = 0,$$

звідки визначаємо плече  $\ell h_{23}$ , яке характеризує положення лінії дії сили  $R_{23}$ .

4. Складаємо рівняння моментів сил, діючих на ланки 2 і 3, від-

носно точки A

$$\sum (M_A)_{2,3} = 0,$$

звідки знаходимо плече  $\ell_{h_{34}}$ , яке визначає точку прикладання сили  $R_{34}$ .

### 5.6. СИЛОВИЙ РОЗРАХУНОК ВЕДУЧОЇ ЛАНКИ

Після розрахунку усіх груп Ассура, що входять до складу механізму, роблять розрахунок ведучої ланки.

Нехай на ведучу ланку /рис. 4.12/ діють: сила  $F_1$ , сила ваги  $G_1$ , і момент сили інерції  $M_{ih_1}$ . Крім того, на ведучу ланку в точці A діє реакція  $R_{12}$  з боку ланки 2 групи Ассура, що приєднується до ведучої ланки. Ця реакція вже відома. Вона дорівнює по величині  $R_{21}$  і спрямована у протилежний бік реакції  $R_{21}$ , визначеній при розрахунку групи Ассура.

$$\bar{R}_{12} = -\bar{R}_{21}.$$

В точці O кривошипа діє реакція  $R_{10}$  з боку стояка. Цю реакцію треба визначити. Крім того, на ведучу ланку діє зрівноважувальний момент  $M_{3p}$  або зрівноважувальна сила  $F_{3p}$ . Якщо колінчастий вал двигуна з'єднується безпосередньо за допомогою муфти з головним валом механізму, то ми маємо зрівноважувальний момент. Якщо ж колінчастий вал двигуна і головний вал механізму з'єднуються за допомогою зубчастої передачі, то ми маємо зрівноважувальну силу, яка діє по лінії зачеплення.

Розглянемо два випадки: а/ коли на ведучу ланку діє зрівноважувальний момент  $M_{3p}$ ; б/ коли на ведучу ланку діє зрівноважувальна сила  $F_{3p}$ .

Перший випадок. На ведучу ланку діє сила:  $F_1, G_1$  і момент  $M_{ih_1}$ . Треба визначити  $M_{3p}$  і  $R_{10}$  /рис. 4.12/.

Розрахунки виконуємо у такому порядку:

1. Складаємо рівняння моментів відносно точки O і визначаємо величину зрівноважувального момента  $M_{3p}$

$$F_1 \ell_{h_1} - R_{12} \ell_{h_{12}} - M_{ih_1} + M_{3p} = 0,$$

звідки  $M_{3p} = M_{ih_1} + R_{21} \ell_{h_{12}} - F_1 \ell_{h_1}$ .

2. Складаємо векторне рівняння для сил, діючих на ведучу ланку,

$$\underline{\underline{R}_{12}} + \underline{\underline{G}_1} + \underline{\underline{F}_1} + \underline{\underline{R}_{10}}.$$

У відповідності до цього рівняння у масштабі відкладаємо послідовно відомі вектори:  $R_{12}$ ,  $\bar{G}_1$  і  $\bar{F}_1$  /рис. 4.12, б/. Складаємо на площині сім кінець вектора  $\bar{F}_1$  з початком вектора  $R_{12}$  і одержуємо

вектор  $R_{10}$ .

Другий випадок. Якщо на кривошип діє зрівноважувальна сила  $F_{3p}$  /наприклад, у вертикальному напрямі на відстані  $\ell_{h3p}$  від осі оберту ведучої ланки/, то розрахунки виконуємо в такій послідовності /рис. 4.13, а/.

І. Складаємо рівняння моментів відносно точки  $O$  і визначаємо величину зрівноважувальної сили

$$F_{3p} \ell_{h3p} - R_{12} \ell_{h12} - M_{ch1} + F_1 \ell_{h1} = 0,$$

звідки

$$F_{3p} = \frac{R_{12} \ell_{h12} + M_{ch1} - F_1 \ell_{h1}}{\ell_{h3p}}.$$

2. Складаємо векторне рівняння для сил, діючих на ведучу ланку,

$$\bar{R}_{12} + \bar{G}_1 + \bar{F}_1 + \bar{F}_{3p} + \bar{R}_{10} = 0.$$

У відповідності до цього рівняння у масштабі відкладаємо послідовно відомі вектори:  $\bar{R}_{12}$ ,  $\bar{G}_1$ ,  $\bar{F}_1$ ,  $\bar{F}_{3p}$  /рис. 4.13, б/. Сполучаємо на плані сил кінець вектора  $\bar{F}_{3p}$  з початком вектора  $\bar{R}_{12}$  і отримуємо вектор  $\bar{R}_{10}$ .

### 5.7. ТЕОРЕМА М.Е. ЖУКОВСЬКОГО

Теорема М.Е. Жуковського дозволяє визначити зрівноважувальну силу  $F_{3p}$  як зрівноважувальний момент  $M_{3p}$ , не визначаючи реакції у кінематичних парах механізму.

Нехай на ланки механізму діють сили:  $F_1, F_2, \dots, F_n$ , і до складу цих сил входять сили інерції. Якщо механізм під дією системи прикладених сил перебуває в рівновазі, то на основі принципу можливих переміщень сума елементарних робіт цих сил дорівнює — нулю. Для системи, що має стаціонарні зв'язки /тобто зв'язки, які не залежать від часу/, можливі переміщення будуть справжніми елементарними переміщеннями. Математичний вираз принципу можливих переміщень тоді набирає вигляду

$$F_1 d_{s1} \cos \alpha_1 + F_2 d_{s2} \cos \alpha_2 + \dots + F_n d_{sn} \cos \alpha_n = 0, \quad 14.71$$

де  $\alpha_1, \alpha_2, \dots, \alpha_n$  — кути, утворені напрямами ліній дії відповідних сил і напрямами переміщень їх точок.

Після поділу цього рівняння на  $dt$  дістанемо

$$F_1 v_1 \cos \alpha_1 + F_2 v_2 \cos \alpha_2 + \dots + F_n v_n \cos \alpha_n = 0, \quad 14.81$$

де  $v_1, v_2, \dots, v_n$  — швидкості точок прикладання відповідних сил.

Рівняння 14.81 зображає собою суму миттєвих потужностей всіх

зовнішніх сил, прикладених до ланок механізму. Ця сума дорівнює нулю.

Припустимо, що в точці  $i$  ланки  $AB$  прикладена сила  $F_i$  /рис. 4.15, а/, яку перенесено паралельно їй самій в однійменну точку  $i$  повернутого на кут  $90^\circ$  плану швидкостей ланки /рис. 4.15, б/. З розгляду повернутого плану швидкостей потужність  $N_i$  сили  $F_i$  можна подати так

$$N_i = F_i \bar{v}_i \cos \alpha_i = F_i (\rho_i) \mu_v \cos \alpha_i = F_i h_i \mu_v,$$

де  $h_i$  - перпендикуляр, опущений із полюса  $P$  плану швидкостей на лінію дії сили  $F_i$ ; кут між  $\bar{v}_i$  і  $h_i$  дорівнює  $\alpha_i$ .

Оскільки вищеведене рівняння, що визначає величину  $N_i$ , застосоване для усіх сил  $F_i$ , матимемо

$$\sum_i^N N_i = \mu_v \sum_i^N F_i h_i = 0$$

або оскільки

$$\mu_v \neq 0,$$

$$\sum_i^N F_i h_i = 0.$$

/4.9/

Рівняння /4.9/ можна записати ще так

$$F_1 h_1 + F_2 h_2 + \dots + F_n h_n = 0.$$

/4.10/

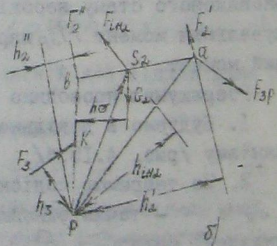
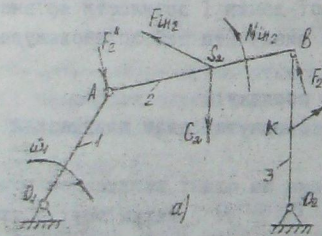
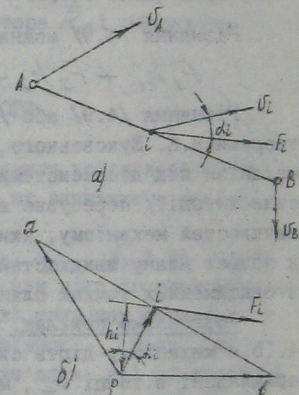
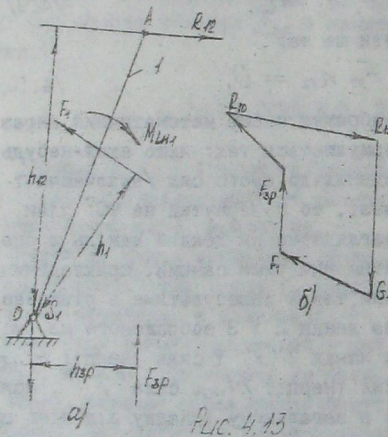
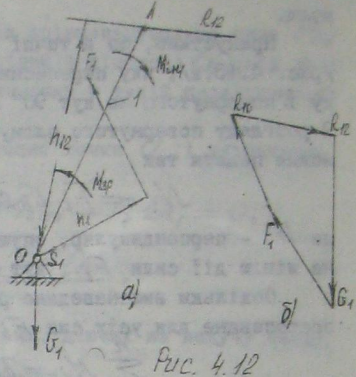
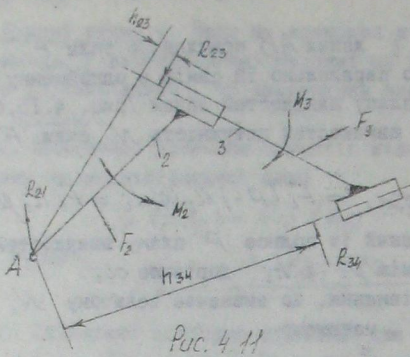
Рівняння /4.9/ або /4.10/ зображує собою математичний вираз теореми М.Е. Щуковського, яка формулюється так: якщо який-небудь механізм під дією системи прикладених до нього сил /включаючи і сили інерції/ перебуває в рівновазі, то повернутий на  $90^\circ$  план швидкостей механізму, який ми розглядаємо як деякий важіль з опорою в полюсі плану швидкостей, навантажений тими самими, прикладеними в однійменних точках плану, силами, також перебуватиме в рівновазі.

Розглянемо приклад. Нехай на ланки 2 і 3 зображеного на рис. 4.15, а механізму дієть сила ваги ланки 2  $G_1$ , і сила інерції  $F_{1H2}$ , прикладені в точці  $S_2$ , момент сил інерції  $M_{1H2}$  сили  $F_3$ , прикладена в точці  $K$ . Очевидно, що в загальному випадку під дією цих сил механізм не перебуває в рівновазі. Для зведення механізму до зрівноваженого стану необхідно до ведучої ланки 1 прикласти зрівноважувальний момент  $M_{3p}$  пари сил. Треба визначити цей зрівноважувальний момент.

Розрахунки проводимо в наступному порядку:

1. Будуємо в довільному масштабі повернутий план швидкостей механізму /рис. 4.15, б/.

2. За теоремою подібності визначаємо на плані швидкостей точки  $S_2$  і  $K$  - точки однійменні точкам  $S_2$  і  $K$  механізму, з яких прикладені сили:  $G_2$ ,  $F_{1H2}$  і  $F_3$ .



3. Переносимо паралельно самим собі в точку  $S_2$  і  $K$  плану швидкостей відповідно сили  $G_2$ ,  $F_{iH2}$  і  $F_3$ . В точку  $a$  плану швидкостей перпендикулярно до кривошипа  $CA$  або перпендикулярно відрізу  $PA$  прикладаємо зрівноважувальну силу  $F_{3p}$ . Момент інерції  $M_{iH2}$  зображаємо як пару сил  $F_2'$  і  $F_2''$ , прикладених в точках  $A$  і  $B$  ланки 2 (рис. 4.15, a). Величини цих сил визначаємо за формулами

$$F_2' = F_2'' = \frac{M_{iH2}}{L_{AB}}.$$

Сили  $F_2'$  і  $F_2''$  переносимо в точки  $a$  і  $b$  плану швидкостей (рис. 4.15, б).

4. Приймаючи план швидкостей за важіль, навантажений силами  $G_2$ ,  $F_{iH2}$ ,  $F_3$ ,  $F_2'$  і  $F_2''$ , складаємо рівняння моментів цих сил відносно полюса плану швидкостей, причому знаки у моментів вибираємо залежно від напряму їх обертання навколо полюса  $P$ . Натискаємо

$$F_{3p}r_{PA} - F_2'h_2' - F_{iH2}h_{iH2} + G_2h_5 + F_2''h_2'' + F_3h_3 = 0.$$

З цього рівняння визначаємо шукану величину зрівноважувальної сили  $F_{3p}$ . Знаходимо

$$F_{3p} = \frac{F_2'h_2' + F_{iH2}h_{iH2} - G_2h_5 - F_2''h_2'' - F_3h_3}{r_{PA}}.$$

Якщо права частина рівняння після числового підрахунку буде додатна, то значить напрям сили  $F_{3p}$  вибрали правильно. При від'ємному значенні правої частини напрям сили  $F_{3p}$  треба змінити на протилежний.

Зрівноважувальний момент визначається за формулами

$$M_{3p} = F_{3p} r_{OAH}.$$

## РОЗДІЛ 5. ДИНАМІЧНИЙ АНАЛІЗ І СИНТЕЗ ПЛОСКИХ МЕХАНІЗМІВ

### 5.1. ЗАГАЛЬНІ ВІДОМОСТІ

До цього часу ми вивчали рух механізму без врахування діючих на його ланки сил і припускали, що ведуча ланка обертається із сталою кутовою швидкістю ( $\omega = \text{const}$ ). Однак, як відомо з курсу теоретичної механіки, закон руху тіла або системи залежить від діючих на них сил та моментів сил, та має ті моментів інерції тіл. Відповідно і закон руху механізму також залежить від сил та моментів сила, діючих на його ланки, і від мас та моментів інерції ланок.

Для визначення закону руху механізму достатньо встановити закон руху ведучої ланки, так як, знаючи закон її руху, завжди можна засобом кінематики визначити закон руху інших ланок і точок механізму.

Таким чином, задачею динамічного аналізу є визначення істинного закону руху ведучої ланки механізму під дією заданих сил і моментів сил.

Для розв'язання цієї задачі можна використовувати відомий із теоретичної механіки закон зміни кінетичної енергії, згідно з яким змінювання кінетичної енергії системи  $\Delta T$  за деякий проміжок часу дорівнює сумі робіт  $\sum A$ , прикладених до системи за той же проміжок часу

$$\Delta T = \sum A.$$

/5.1/

Користуватися рівнянням /5.1/ в загальному випадку дуже складно, так як механізм має багато ланок з різними масами та моментами інерції, різними швидкостями точок; на ланки діють різні сили і моменти сил. Тому для визначення закону руху ведучої ланки необхідно зробити зведення усіх сил та моментів сил і усіх мас та моментів інерції ланок до цієї ланки. Необхідно задачу звести до розгляду руху тільки ведучої ланки, замінюючи усі сили та моменти сил, які діють на різні ланки механізму, однією зведенюю силою  $F_{36}$  /або одним зведенням моментом  $M_{36}$ /, яка прикладена в точці зведення ланки зведення, а маси та моменти інерції всіх ланок – однією зведенюю масою  $M_{36}$  /або одним зведенням моментом інерції  $T_{36}$ /, зосередженою в точці зведення  $A$  ланки зведення /рис. 5.1 і рис. 5.2/.

При цьому, щоб рівняння /5.1/ не змінилось, необхідно замінити роботу таким чином, щоб робота зведеній сили  $F_{36}$  /або зведеного моменту  $M_{36}$ / дорівнювала сумі робіт усіх сил та моментів сил, які діють на різні ланки, а кінетична енергія зведеній маси  $M_{36}$  /або зведеного моменту інерції  $T_{36}$ / дорівнювала кінетичній енергії усіх ланок механізму,

Отже, у цьому випадку задача полягає у визначенні закону руху ланки зведення /ведучої ланки/, що перебуває під дією тільки однієї сили  $F_{36}$  /або одного моменту  $M_{36}$ / і має масу  $M_{36}$  /або момент інерції  $T_{36}$ /.

## 5.2. РОБОТА СИЛ І МОМЕНТІВ СИЛ. ЗВЕДЕНА СИЛА. ЗВЕДЕНИЙ МОМЕНТ СИЛІ

Нехай на ланки механізму діють у загальному випадку різні си-

де  $F_i$  і моменти сил  $M_i$ . Елементарна робота, що прикладена до механізму, до складу якого входять  $n$  рухомих ланок, дорівнює

$$dA = \sum_{i=1}^n dA_i = \sum_{i=1}^n (F_i ds_i \cos\alpha_i + M_i d\varphi_i), \quad 15.21$$

де  $ds_i$  - елементарне лінійне переміщення точки прикладання сили  $F_i$ ;

$\alpha_i$  - кут, утворений напрямом лінії дії  $F_i$  і напрямом переміщення /швидкості/ точки прикладання сили  $F_i$ ;

$d\varphi_i$  - елементарне кутове переміщення ланки, на яку діє момент  $M_i$ .

З другого боку, елементарна робота механізму дорівнює елементарній роботі зведені сили  $F_{3c}$ , яка прикладена перпендикулярно до ведучої ланки /ланки зведення/ в точці  $A$  /рис. 5.1/

$$dA = F_{3c} ds_A, \quad 15.31$$

де  $ds_A$  - елементарне лінійне переміщення точки  $A$ .

Тоді

$$F_{3c} ds_A = \sum_{i=1}^n (F_i ds_i \cos\alpha_i + M_i d\varphi_i).$$

Після поділення цього рівняння на  $dt$  дістанемо замість рівності робіт рівність потужностей

$$F_{3c} \frac{ds_A}{dt} = \sum_{i=1}^n (F_i \frac{ds_i}{dt} \cos\alpha_i + M_i \frac{d\varphi_i}{dt})$$

або

$$F_{3c} v_A = \sum_{i=1}^n (F_i v_i \cos\alpha_i + M_i w_i).$$

Із цього рівняння можна визначити величину зведені сили

$$F_{3c} = \sum_{i=1}^n (F_i \frac{v_i}{v_A} \cos\alpha_i + M_i \frac{w_i}{v_A}). \quad 15.41$$

Таким чином, зведені силами називається деяка умовна сила, прикладена в точці зведення ланки зведення, елементарна робота /потужність/ якої дорівнює сумі елементарних робіт /потужностей/ усіх сил та моментів сил, діючих на ланки механізму.

Елементарну роботу усіх сил та моментів сил, які діють на різні ланки механізму, можна також замінити рівною їй елементарною роботою зведеного моменту  $M_{3c}$ , прикладеною до ведучої ланки /ланки зведення/

$$dA = M_{3c} d\varphi_1,$$

де  $d\varphi_1$  - елементарне кутове переміщення ведучої ланки.

Тоді

$$M_{3c} d\varphi_1 = \sum_{i=1}^n (F_i ds_i \cos\alpha_i + M_i d\varphi_i).$$

Після поділення цього рівняння на  $dt$  дістанемо замість рівності робіт рівність потужностей

$$M_{3e} \frac{d\varphi_i}{dt} = \sum_{i=1}^n \left( F_i \frac{ds_i}{dt} \cos \alpha_i + M_i \frac{d\varphi_i}{dt} \right)$$

або

$$M_{3e} \omega_i = \sum_{i=1}^n \left( F_i v_i \cos \alpha_i + M_i \omega_i \right),$$

звідси величина зведеного моменту сили  $M_{3e}$  дорівнює

$$M_{3e} = \sum_{i=1}^n \left( F_i \frac{v_i}{\omega_i} \cos \alpha_i + M_i \frac{\omega_i}{\omega_i} \right). \quad 15.5/$$

Таким чином, зведенним моментом сил називається деякий умовний момент, прикладений до ланки зведення, елементарна робота /потужність/ якої дорівнює сумі елементарних робіт /потужностей/ усіх сил та моментів сил, діючих на ланки механізму.

Швидкість точки зведення  $A$  /рис.5.1/ дорівнює

$$v_A = \omega_1 r_{OA}. \quad 15.6/$$

Підставляючи це значення  $v_A$  в рівняння /5.4/ і порівнюючи його з рівнянням /5.5/, визначимо зв'язок між зведенним моментом і зведененою силою

$$M_{3e} = F_{3e} r_{OA}. \quad 15.7/$$

Після визначення зведененої сили  $F_{3e}$  або зведеного моменту для ряду положень механізму можна побудувати діаграму  $F_{3e} = f(s_A)$  або діаграму  $M_{3e} = f(\varphi)$ , після чого методом графічного інтегрування легко побудувати діаграму робіт, так як

$$A = \int_{s_0}^{s_e} F_{3e} ds_A; \quad 15.8/$$

$$A = \int_{\varphi_0}^{\varphi_e} M_{3e} d\varphi. \quad 15.9/$$

Зведену силу  $F_{3e}$  можна визначити також за способом М.Е.Жуковського, який ми наводили раніше.

### 5.3. КІНЕТИЧНА ЕНЕРГІЯ ЛАНКИ І МЕХАНІЗМУ. ЗВЕДЕНА МАСА. ЗВЕДЕНИЙ МОМЕНТ ІНЕРЦІЇ

Кінетична енергія будь-якої ланки механізму у загальному вигляді визначається за формулою

$$T_l = \frac{m_i v_{s_i}^2}{2} + \frac{J_{s_i} \omega_i^2}{2}, \quad 15.10/$$

де  $m_i$  - маса рухомої ланки механізму;  
 $v_{s_i}$  - швидкість центра мас ланки;

$\mathcal{J}_{S_i}$  - момент інерції маси ланки відносно його центра мас  $S_i$ ;

$w_i$  - кутова швидкість ланки.

Якщо ланка здійснює лише поступальний рух і, отже,  $w_i = 0$ , то кінетична енергія

$$T_i = \frac{m_i v_{S_i}^2}{2}. \quad 15.11/$$

Якщо ланка обертається навколо осі, яка проходить через центр мас, то  $v_{S_i} = 0$  і кінетична енергія

$$T_i = \frac{\mathcal{J}_{S_i} w_i^2}{2}. \quad 15.12/$$

Якщо ланка обертається навколо нерухомої осі, яка знаходить-  
ся на відстані  $l_{OS_i}$  від центра мас  $S_i$ , то швидкість центра  
мас  $v_{S_i}$  дорівнює

$$v_{S_i} = w_i l_{OS_i}. \quad 15.13/$$

Із рівняння /5.10/ і /5.13/ знаходимо

$$T_i = \frac{m_i w_i^2 l_{OS_i}^2}{2} + \frac{\mathcal{J}_{S_i} w_i^2}{2} = \frac{w_i^2}{2} (\mathcal{J}_{S_i} + m_i l_{OS_i}^2). \quad 15.14/$$

Вираз  $\mathcal{J}_{S_i} + m_i l_{OS_i}^2$  - момент інерції маси ланки відносно неру-  
хомої осі-позначимо через  $\mathcal{J}_o$ , тоді формула /5.14/ буде мати  
такий вигляд

$$T_i = \mathcal{J}_o \frac{w_i^2}{2}. \quad 15.15/$$

Кінетична енергія механізму відповідно /5.10/

$$T = \sum_{i=1}^n \left( \frac{m_i v_{S_i}^2}{2} + \frac{\mathcal{J}_{S_i} w_i^2}{2} \right). \quad 15.16/$$

Кінетична енергія зведеної маси  $M_{3c}$ , зосередженої в точці A  
ланки зведення /рис. 5.1/, що дорівнює  $\frac{m_{3c} v_A^2}{2}$ , або кінетична енер-  
гія зведеного момента інерції  $\mathcal{J}_{3c}$ , що дорівнює  $\frac{\mathcal{J}_{3c} w_A^2}{2}$ , повинна  
дорівнювати сумі  $T$  кінетичних енергій усіх ланок механізму

$$T = \frac{m_{3c} v_A^2}{2} = \frac{\mathcal{J}_{3c} w_A^2}{2} = \sum_{i=1}^n \left( \frac{m_i v_{S_i}^2}{2} + \frac{\mathcal{J}_{S_i} w_i^2}{2} \right),$$

звідки дістаемо:

$$m_{3c} = \sum_{i=1}^n \left[ m_i \left( \frac{v_{S_i}}{v_A} \right)^2 + \mathcal{J}_{S_i} \left( \frac{w_i}{w_A} \right)^2 \right]; \quad 15.17/$$

$$\mathcal{J}_{3c} = \sum_{i=1}^n \left[ m_i \left( \frac{v_{S_i}}{w_i} \right)^2 + \mathcal{J}_{S_i} \left( \frac{w_i}{w_A} \right)^2 \right]. \quad 15.18/$$

З порівняння формул /5.17/ і 5.18/ матимемо

$$\mathcal{J}_{3c} = M_{3c} l_{OA}^2. \quad 15.19/$$

Таким чином, зведеною масою називається деяка умовна маса,

зосереджена в точці зведення ланки зведення, кінетична енергія якої дорівнює сумі кінетичних енергій ланок механізму.

Зведенням моментом інерції називається деяний умовний момент інерції ланки зведення, кінетична енергія якого дорівнює сумі кінетичних енергій ланок механізму.

Зведення маси і зведений момент інерції залежатимуть тільки від співвідношення швидкостей, які, в свою чергу, залежать від положення ланки зведення механізму і будуть залежати величинами початними.

Слід відзначити, що коли ланка зведення робить поступальний рух, то для дослідження її руху необхідно визначити зведену силу і зведену масу, а коли вона робить обертальний рух /таких ведучих ланок більшість/, то для дослідження її руху зручно визначати зведений момент сили і зведений момент інерції.

Розглянемо приклад. У парнірному чотиріланковому механізмі /рис. 5.3/, побудованому в масштабі  $\mu_2$ , відомо таке: довжина ланок  $\ell_{0,1}$ ,  $\ell_{0,2}$ ,  $\ell_{0,3}$ , маси яких  $m_1$ ,  $m_2$ ,  $m_3$ , моменти інерції мас  $J_{S_1}$ ,  $J_{S_2}$ ,  $J_{S_3}$  відносно осей, які проходять через центр ланок, кутова швидкість  $\omega_1$  ведучої ланки. Визначити величину зведеного моменту інерції  $J_{36}$  маси механізму.

Будуємо в довільному масштабі  $\mu_2$  план швидкостей /рис. 5.4/, після чого визначаємо кінетичну енергію ланки I за формуловою /5.15/:

$$T_1 = J_{01} \frac{\omega_1^2}{2},$$

де  $J_{01}$  - момент інерції маси ланки I відносно осі  $O_1$ .

$$\text{В свою чергу, } J_{01} = J_{S_1} + m_1 \ell_{0,1}^2 s_1,$$

де  $\ell_{0,1}$  - відстань від осі  $O_1$  до центра мас  $S_1$  ланки.

Коромисло 3 здійснює рух такого ж характеру, що і ланка I. Тому для ланки 3 кінетична енергія

$$T_3 = \frac{m_3^2}{2} (J_{S_3} + m_3 \ell_{0,3}^2 s_3).$$

Складний плоский рух шатуна 2 складається із поступального разом з центром мас  $S_2$  і обертального навколо цього центра. Тому кінетична енергія ценої ланки визначається за формуловою /5.10/:

$$T_2 = m_2 \frac{V_{S_2}^2}{2} + J_{S_2} \frac{\omega_2^2}{2}.$$

Кінетична енергія механізму дорівнює сумі кінетичних енергій усіх ланок

$$T = T_1 + T_2 + T_3, \quad /5.20/$$

З іншого боку, кінетична енергія зведеного моменту інерції механізму дорівнює

$$T = J_{36} \frac{\omega_1^2}{2}, \quad /5.21/$$

З рівнянь /5.20/ і /5.21/ знаходимо

$$\bar{J}_{38} = 2 \frac{\bar{T}_1 + \bar{T}_2 + \bar{T}_3}{\omega_1^2}$$

$$\text{зок } \bar{J}_{38} = \frac{(J_{S_1} + m_1 l_{0, S_1}^2) \omega_1^2 + m_2 \omega_{S_2}^2 + J_{S_2} \omega_2^2 + (J_{S_3} + m_3 l_{0, S_3}^2) \omega_3^2}{\omega_1^2},$$

Значення параметрів механізму:  $\omega_2$ ,  $\omega_3$ ,  $\omega_{S_2}$  визначаємо за допомогою плаку швидкостей /рис. 5.4/.

#### 5.4. РІВНЕННЯ РУХУ МАШИН

Як вже відзначалось раніше, у більшості механізмів передні ланки мають обертальний рух. Тому будемо складати рівняння руху для цього виду.

Перенесемо рівняння /5.1/, яке виражає закон зміни кінетичної енергії, з урахуванням зведенних параметрів механізму

$$\frac{\partial \text{зр.ш}^2}{\partial \varphi} - \frac{\bar{J}_{38} \omega_1^2}{2} = A_P - A_{K0} - A_{M0} \pm A_G, \quad /5.22/$$

де  $\bar{J}_{38}$  - зведений момент інерції механізму в кінці розглядуваного повороту кривошипа, визначеного кутом  $\varphi_1$ ;

$\bar{J}_{380}$  - зведений момент інерції механізму на початку розглядуваного повороту кривошипа, визначеного кутом  $\varphi = 0$ ;

$\omega_1$  - кутова швидкість передній ланки в кінці повороту;

$\omega_0$  - кутова швидкість передній ланки на початку повороту;

$A_P$  - робота зведеного моменту руміжної сили при повороті кривошипа з початкового положення в положення, визначене кутом  $\varphi$ ;

$A_{K0}$  - робота зведеного моменту сил керівних спорів за той же поворот;

$A_{M0}$  - робота зведеного моменту сил шкідливих спорів за той же поворот;

$A_G$  - робота зведеного моменту сил тяжіння ланок за той же поворот.

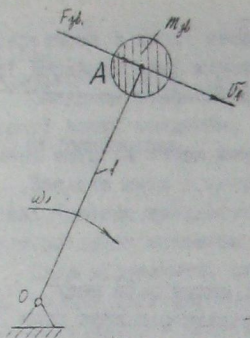
У деяких випадках для спрощення розрахунків можна покутувати роботами зведенням моментів сил шкідливих спорів і тяжіння ланок.

Тоді зміна кінетичної енергії ланки залежима за поворот від  $\varphi = 0$  до  $\varphi_1$  буде дорівнювати

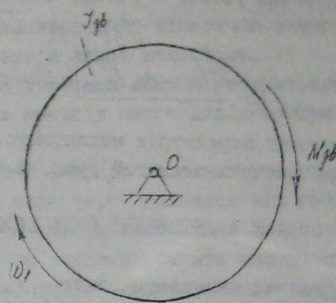
$$\Delta T = A_P - A_{K0}. \quad /5.23/$$

З урахуванням /5.9/ рівняння /5.23/ набере вигляду

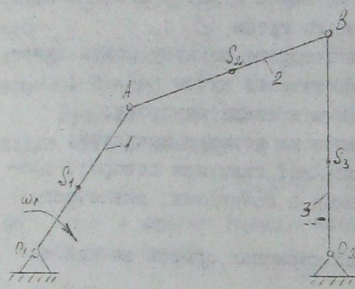
$$\Delta T = \int_0^{\varphi_1} M_P d\varphi - \int_0^{\varphi_1} M_{K0} d\varphi, \quad /5.24/$$



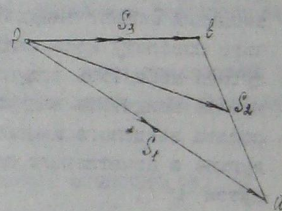
PUC. 5.1



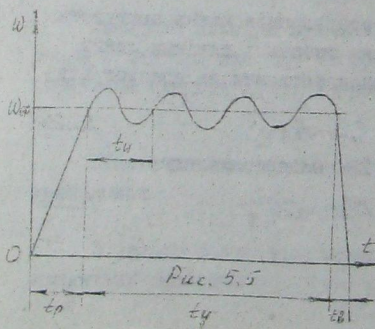
PUC. 5.2



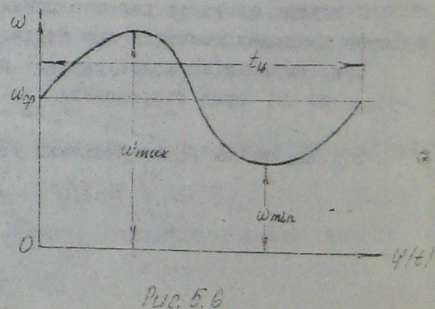
PUC. 5.3



PUC. 5.4



PUC. 5.5



PUC. 5.6

де  $M_p$  - зведений момент рушійної сили;

$M_{ko}$  - зведений момент сил корисних опорів.

Рівняння /5.24/ уявляє собою рівняння руху машини у загальному вигляді.

Розглянемо рівняння руху у диференціальній формі. Для цього скористуємося рівнянням /5.1/ у диференціальній формі

$$\frac{d\Gamma}{dt} = \frac{dA}{dt}. \quad 15.25/$$

Позначимо різницю зведених моментів рушійної сили  $M_p$  і моменту сил корисних опорів  $M_{ko}$  через  $M$

$$M = M_p - M_{ko}.$$

Тоді рівняння зміни кінетичної енергії /5.25/ набере вигляду

$$\frac{dA}{dt} = M \frac{d\varphi}{} = \frac{d\Gamma}{dt}, \quad 15.26/$$

де  $d\varphi$  - елементарний поворот ланки зведення.

Із /5.26/ одержуємо

$$M = \frac{dA}{d\varphi} = \frac{d\Gamma}{d\varphi}. \quad 15.27/$$

Підставимо в рівняння /5.27/ значення кінетичної енергії

$$M = \frac{d\Gamma}{d\varphi} = \frac{d(\frac{\gamma_3 \omega^2}{2})}{d\varphi}, \quad 15.28/$$

де  $\gamma_3$  - зведений момент інерції ланок механізму;

$\omega$  - кутова швидкість ланки зведення

$$\text{або } M = \gamma_3 \frac{d\omega}{d\varphi} + \frac{\omega^2}{2} \frac{d\gamma_3}{d\varphi}. \quad 15.29/$$

Рівняння /5.29/ є рівнянням руху у диференціальній формі.

Якщо прийняти, що зведений момент інерції ланок механізму сталий і незалежить від кута повороту ланки зведення  $\varphi$ , то  $\frac{d\gamma_3}{d\varphi} = 0$ , і рівняння /5.29/ перепишеться так

$$M_p - M_{ko} = \gamma_3 \frac{d\omega}{dt} = \gamma_3 \frac{d^2\varphi}{dt^2}. \quad 15.30/$$

## 5.5. ПЕРІОДИ РУХУ МАШИНИ. ТАХОГРАМА РУХУ. КОЕФІЦІЕНТ НЕРІВНОМІРНОСТІ РУХУ МЕХАНІЗМУ

Повним часом руху механізму в проміжок часу від моменту початку руху ведучої ланки до моменту кінця її руху. Повний час руху механізму складається з трьох періодів: періоду розбігу  $t_p$ , періоду усталеного руху  $t_u$ , періоду вибігу /гальмування/  $t_g$  /рис. 5.5/.

Час розбігу характеризується зростанням швидкості ведучої ланки від нульового значення до значення, відповідного усталеному руху.

Усталений рух механізму супроводжується періодичними змінами швидкості обертання ведучої ланки навколо середнього значення її кутової швидкості.

Час вибігу характеризується зміщенням кутової швидкості ведучої ланки від середнього значення до нульового значення.

Всі періоди руху зображені на тахограмі механізму кривою  $\omega = f(t)$  залежності кутової швидкості  $\omega$  ведучої ланки від часу  $t$  /рис. 5.5/. Повний час  $t$  руху механізму дорівнює  $t = t_p + t_y + t_b$ .

Періодичний усталений рух поділяється на цикли. Циклом руху ведучої ланки механізму називається проміжок часу, після завершення якого положення, швидкість, прискорення та інші параметри ведучої ланки приймають початкові значення.

Розглянемо коефіцієнт нерівномірності руху механізму. Кутова швидкість  $\omega$  ведучої ланки змінюється в середині циклу усталеного руху навколо її середнього значення  $\omega_{cp}$  і в кінці циклу повертається до початкового значення /рис. 5.6/.

Коефіцієнт нерівномірності руху механізму являє собою відношення різниці між найбільшою і найменшою величинами кутових швидкостей в циклі усталеного до середньої кутової швидкості ведучої ланки, тобто

$$\delta = \frac{\omega_{max} - \omega_{min}}{\omega_{cp}}. \quad 15.31$$

При визначенні середньої кутової швидкості на практиці часто користуються наближеною формулой

$$\omega_{cp} = \frac{\omega_{max} + \omega_{min}}{2}. \quad 15.32$$

Допустимі значення коефіцієнта нерівномірності  $\delta$  для механізмів подаються в технічних довідниках.

Розв'язуючи сумісно рівняння 15.31 і 15.32 відносно  $\omega_{max}$  і  $\omega_{min}$ , пістанемо:

$$\omega_{max} = \omega_{cp}(1 + \frac{\delta}{2}); \quad 15.33$$

$$\omega_{min} = \omega_{cp}(1 - \frac{\delta}{2}); \quad 15.34$$

$$\omega_{max}^2 - \omega_{min}^2 = 2\delta\omega_{cp}^2; \quad 15.35$$

## 5.6. МАХОВИК І ЙОГО ПРИЗНАЧЕННЯ

Великі періодичні коливання кутової швидкості ведучої ланки недопустимі, бо вони спричиняють у кінематичних парах додаткові

/динамічні/ тиски, які знижують загальний коефіцієнт корисної дії механізму та надійність його роботи. Крім того, великі коливання швидкостей зможуть спричинити небажані явища в технологічному процесі /псування різця у верстатах, розрив матеріалу в текстильних машинах, вібрації, коливання сили світла в електричних лампочках, що шкідливо впливає на очі людини.. тощо/. Через те задача про стабільність швидкості обертання в даному разі полягає в тому, щоб неминучі періодичні коливання швидкості усталеного руху довести до такого мінімуму, при якому зазначені явища були б мало відчутні. А для цього необхідно з'ясувати способи зменшення коефіцієнта нерівномірності руху механізму при заданому законі зміни зовнішніх сил.

Запишемо рівняння руху машини /5.22/, /5.23/

$$\frac{J_{\text{ср}} \omega^2}{2} - \frac{J_{\text{ко}} \omega_0^2}{2} = A_p - A_{\text{ко}} = A_n, \quad 15.36/$$

де  $A_n = A_p - A_{\text{ко}}$  — надмірна робота.

Якщо знатхтувати зміною зведеного моменту інерції ланок механізму, то можна вважати, що найбільше і найменше значення кінетичної енергії відповідає  $\omega_{\max}$  і  $\omega_{\min}$ . В такому разі рівняння /5.36/ набере вигляду

$$J_{\text{ср}} \frac{\omega_{\max}^2 - \omega_0^2}{2} = A_{n\max}. \quad 15.37/$$

Підставивши значення  $(\omega_{\max}^2 - \omega_0^2)$  за формулою /5.35/ в рівняння /5.37/, дістанемо

$$\delta J_{\text{ср}} \omega_0^2 = A_{n\max}. \quad 15.38/$$

Це рівняння дозволяє встановити ті можливості, котрі можна використати для здобуття коефіцієнта нерівномірності механізму потрібної величини. Дійсно, так як середня кутова швидкість кривошипа  $\omega_{\text{ср}}$  і надмірна робота  $A_{n\max}$  відомі, то єдиним вільним параметром буде зведений момент інерції ланок механізму  $J_{\text{ср}}$ , який можна змінювати у відповідності з дібраним коефіцієнтом нерівномірності  $\delta$  механізму.

Однак здебільш величина  $J_{\text{ср}}$  виявляється недостатньою для забезпечення потрібного значення  $\delta$ . В цьому випадку допомагає додаткова маса маховика /колеса з великим моментом інерції/, якій встановлюють на валу кривошипа.

Дія маховика полягає в тому, що при перевищуванні роботи рушійних сил над роботою сил опорів маховик сприймає на себе надлишок кінетичної енергії механізму і, завдяки своєму великому моменту інерції, не дає швидкості надмірно зростати; коли ж робота сил опорів перевищує роботу рушійних сил, маховик віддає нагромаджену кінетичну енергію, протидіючу зменшенню швидкості. Таким чином,

призначення маховика - регулювати в заданих межах періодичні коливання швидкості ведучої ланки механізму при усталеному його русі.

### 5.7. ВИЗНАЧЕННЯ МОМЕНТУ ІНЕРЦІЇ МАХОВИКА

Як вже відзначалось вище, податковий момент інерції маховика дозволяє забезпечити межі коливань кутової швидкості головного вала /вала ведучої ланки/, заданих коефіцієнтом нерівномірності руху машини.

Для визначення моменту інерції маховика треба, щоб були задані: кінематична схема механізму; усі сили, прикладені до механізму, причому сили інерції не повинні входити у діаграми рушійних сил і сил опору; моменти інерції ланок механізму відносно їх центрів мас; середня кутова швидкість ланки зведення; запроектований коефіцієнт нерівномірності руху механізму.

Існує декілька способів визначення моменту інерції маховика, а саме: спосіб середніх потужностей, спосіб проф. Н.І. Мерцалова, спосіб проф. Е.М. Гуттара, спосіб проф. Ф. Віттенбауера.

Розглянемо спосіб проф. Ф. Віттенбауера, який здебільшого застосовується на практиці.

Нехай задані сили корисних опор. Зведений момент рушійних сил - стала величина.

Нижче викладемо послідовність виконання роботи.

- Побудуємо плани аналогів швидкостей для 12 планів механізму. Плани аналогів швидкостей відрізняються від планів швидкостей тим, що вони будуться за умови, що ведуча ланка обертається зі сталовою кутовою швидкістю. При цьому кутове прискорення дорівнює нулю.
- Користуючись формулами /5.4/ і /5.7/ або теоремою М.Е. Жуковського, обчислюємо зведений момент сил корисного опору для 12 положень механізму. Далі задаємося масштабними коефіцієнтами  $M_{\text{ко}} \left[ \frac{\text{Нм}}{\text{Нм}} \right]$  і  $\mu_{\text{ко}} \left[ \frac{\text{рад}}{\text{рад}} \right]$  і будуємо діаграму  $M_{\text{ко}} - \varphi$  /рис. 5.7, а/.
- Метчи на увазі, що  $A_{\text{ко}} = \mu_{\text{ко}} M_{\text{ко}} \alpha \varphi$ , графічним інтегруванням /при полосній відстані  $H$ / переходимо від діаграми  $M_{\text{ко}} - \varphi$  до діаграми  $A_{\text{ко}} - \varphi$  з масштабом  $\mu_A = \mu_{\text{ко}} \mu_m H$  по осі ординат /рис. 5.7, б/.
- Так як зведений момент рушійних сил - стала величина, то його робота пропорційна куту оберту кривошипа  $\varphi$ . Тому, щоб одержати діаграму  $A_p - \varphi$ , необхідно початок координат і кінець діаграми  $A_{\text{ко}} - \varphi$  з'єднати прямою лінією /рис. 5.7, б/.

5. Графічним шткеруванням /при тій же осній відстані  $H$ / переходимо від діаграми  $A_P - \varphi$  до діаграми  $M_P - \varphi$  /рис. 5.7,а/.
6. Користуючись формулами  $\Delta T = A_P - A_M$ , будуємо діаграму  $\Delta T - \varphi$ , для чого алгебраично складаємо ординати діаграм  $A_P - \varphi$  і  $A_M - \varphi$ . Тут слід пам'ятати, що величини  $M_P$  і  $A_M$  мають від'ємний знак, а для зручності побудови їх від'ємні значення відкладаються угору. Діаграма  $\Delta T - \varphi$  зображена на рис. 5.7,в, при цьому  $M_T = M_A$ .
7. За допомогою формул /5.18/ в масштабах  $M_T$  і  $\dot{\varphi}$  будуємо діаграму  $T_{36} - \varphi$  /рис. 5.8/. Для зручного користування цією формуллю зробимо заміну дійсних значень параметрів на відрізки з плама аналогів швидкостей.
8. Будуємо діаграму енергомас  $\omega_0$  криву  $\Phi$ . Віттенбауера, тобто діаграму  $\Delta T - T_{36}$ . Це робиться лише виключення парметра із діаграм  $\Delta T - \varphi$  і  $T_{36} - \varphi$ . Хід побудови кривої Віттенбауера показаний /за рис. 5.8/. Діаграму  $T_{36} - \varphi$  доцільно розташувати так, щоб вісь  $T_{36}$  була горизонтальна, а вісь  $\varphi$  - вертикальна. Порядження своїх діаграм енергомас уз'ємлють з діаграмами  $\Delta T - \varphi$  і  $T_{36} - \varphi$ . Зміщення однієї з точок діаграми енергомас /для 8-го положення механізму/ показано на рис. 5.8. Після зміщення усіх точок діаграми енергомас їх з'ємлють плавкою кривою і в результаті отримуємо криву Віттенбауера.
9. Проведемо дотичні до кривої Віттенбауера відповідно під кутами  $\psi_{max}$  і  $\psi_{min}$  до осі  $T_{36}$  і відікремо на осі ординат відрізок  $AB$ . Цей відрізок зображає в масштабі  $M_T$  найбільшу зміну кінетичної енергії маховика протягом періоду сталого руху маховика.

Кути  $\psi_{max}$  і  $\psi_{min}$  визначаємо за формулами:

$$\operatorname{tg} \psi_{max} = \frac{M_T}{\dot{\omega}_T} \omega_P^2 (1 + \delta); \quad /5.39/$$

$$\operatorname{tg} \psi_{min} = \frac{M_T}{\dot{\omega}_T} \omega_P^2 (1 - \delta). \quad /5.40/$$

10. Визначаємо момент інерції маховика за формулами

$$J_m = \frac{\alpha b \omega_T}{\delta \cdot \omega_P^2}. \quad /5.41/$$

На рис. 5.7 і рис. 5.8 зображені діаграми, які мають приблизний вигляд для поворочено-струтального веретета.

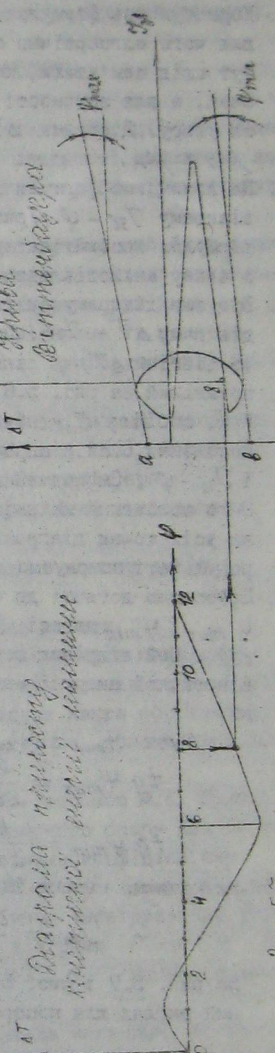
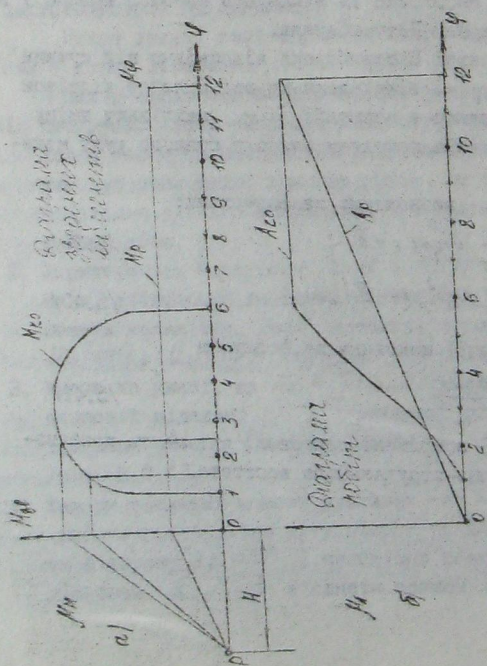
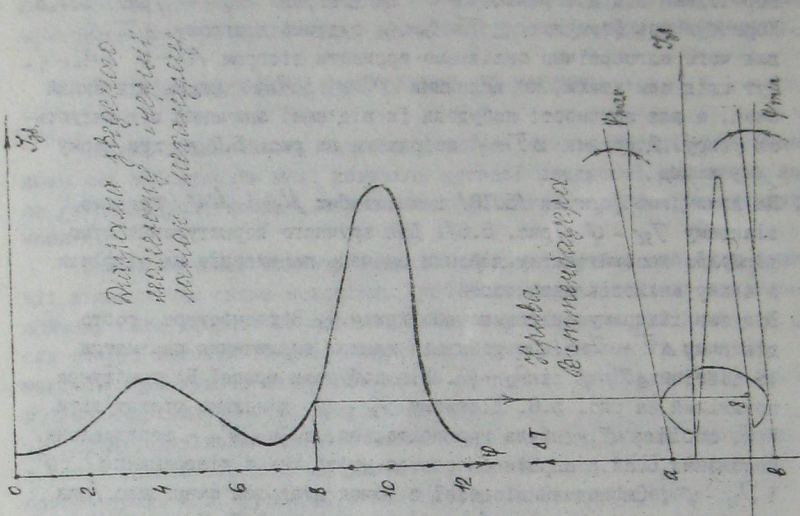


Fig. 5.7

## 5.8. ВИЗНАЧЕННЯ РОЗМІРІВ МАХОВИКА

Маховик конструкційно виконують у вигляді колеса із спицями або замість спиць - із тонким диском. Маховики відливають із чавуну або виготовляють із сталі. Сталеві маховики застосовують при обертаннях  $n > 300 \text{ об/с}$ . Важко знати, що маса маховика рівномірно розподілена по колу діаметра  $D$ , а також нехтуємо моментами інерції маточини і спиць, оскільки вони невеликі порівняно з моментом інерції маси обода маховика. Тоді момент інерції  $J_M$  маховика можна подати так

$$J_M = m R^2 = \frac{G D^2}{4g}, \quad /5.42/$$

де  $G$  - вага обода маховика;  $g = 9,81 \text{ м/с}^2$ ,  $D = 2R$  - діаметр кола центрів ваги поперечних перерізів обода.

З останнього рівняння одержуємо

$$G D^2 = 4g J_M. \quad /5.43/$$

Вираз  $G D^2$  називається маховим моментом, або характеристикою маховика.

Таким чином, знаючи маховий момент маховика, можна задатися діаметром  $D$  маховика, величина якого визначається з набільшого з конструктивних міркувань за формулою /5.43/ легко визначити потрібну вагу маховика. Розміри ободу маховика визначаємо за формулой

$$G = \pi D c h f, \quad /5.44/$$

де  $C$  - ширина обода;  $h$  - висота обода; співвідношення між  $c$  та  $h$  приймаємо таке:  $h = 1,2c$ ;  $f$  - питома вага; для сталі  $f = 7,2 \cdot 10^4 \text{ Н/м}^3$ , для чавуну  $f = 7,1 \cdot 10^4 \text{ Н/м}^3$ . Інші розміри маховика приймаються конструктивно.

## 5.9. ВИЗНАЧЕННЯ КУТОВОЇ Швидкості і КУТОВОГО ПРИСКОРЕНИЯ ГОЛОВНОГО ВАЛА МАШИН

При кінематичному дослідженні механізму припускали, що головний вал обертається рівномірно. В ційсності кутова швидкість головного вала є змінною величиною.

Знаючи момент інерції маховика, а також те положення машини, в якому  $\omega = \omega_{\max}$ , можна визначити значення кутової швидкості головного вала для будь-яких положень машини у середині періоду сталого руху. Напишемо рівняння зміни кінетичної енергії машини для двох " положень: для положення, в якому кутова швидкість головного вала має значення  $\omega_{\max}$  і для довільного положення:

$$\Delta T_1 = T_1 - T_{01}$$

$$\Delta T = T - T_{01}$$

де  $T_1$  і  $T$  - кінетична енергія машини для положення, в якому кутова швидкість головного вала дорівнює  $\omega_{\max}$  і, для новільного положення;

$\Delta T_1$  і  $\Delta T$  - відповідні зміни кінетичної енергії машини;

$T_{01}$  - кінетична енергія механізму у початковому положенні;

Віднімаючи рівняння /5.46/ від рівняння /5.45/, маємо

$$\Delta T_1 - \Delta T = T_1 - T. \quad 16.47/$$

Запишемо рівняння для кінетичної енергії машини в такому вигляді:

$$T_1 = \frac{1}{2} J_m \omega^2 = \frac{1}{2} (J_m + J_{36}) \omega_{\max}^2; \quad 16.48/$$

$$T = \frac{1}{2} J \omega^2 = \frac{1}{2} (J_m + J_{36}) \omega^2, \quad 16.49/$$

де  $J_m$  і  $J_{36}$  - зведені моменти інерції машини з маховиком і ланкою механізму для положення, в якому  $\omega = \omega_{\max}$  ;  $J$  - зведені моменти інерції машини з маховиком і ланкою механізму для довільного положення.

На основі рівнянь /5.47/, /5.48/, /5.49/ дістаемо

$$\omega = \sqrt{\frac{(J_m + J_{36}) \omega_{\max}^2 - 2(\Delta T_1 - \Delta T)}{J_m + J_{36}}}. \quad 16.50/$$

Користуючись цією формуллою, будуємо діаграму  $\omega$ - $\varphi$  для всіх положень ведучої ланки.

Визначимо кутове прискорення головного вала механізму. Кутове прискорення ведучої ланки механізму для  $i$ -го положення визначається за формулою

$$\varepsilon_i = \left( \frac{d\omega}{dt} \right)_i = \left( \frac{d\omega}{dt} \frac{d\varphi}{d\varphi} \right)_i = \omega_i \left( \frac{d\omega}{d\varphi} \right)_i = \omega_i \left( \frac{\Delta \omega}{\Delta \varphi} \right)_i = \omega_i \frac{\omega_{\max} - \omega_i}{\Delta \varphi}, \quad 16.51/$$

де  $\Delta \varphi$  - крок диференціювання; якщо розрахунок робиться для 12 положень ведучої ланки, то  $\Delta \varphi = \frac{2\pi}{12} = \frac{\pi}{6}$ .

Формула /5.51/ дозволяє побудувати діаграму  $\varepsilon$ - $\varphi$  для всіх положень ведучої ланки.

Навчальне видання

КОНСПЕКТ ЛЕКЦІЙ  
З ДИСЦИПЛІНИ "ТЕОРІЯ МЕХАНІЗМІВ  
І МАШИН"  
РОЗДІЛ 4. СИЛОВЕ ДОСЛІДЖЕННЯ  
ПЛОСКИХ МЕХАНІЗМІВ  
РОЗДІЛ 5. ДИНАМІЧНИЙ АНАЛІЗ І  
СИНТЕЗ ПЛОСКИХ МЕХАНІЗМІВ  
для студентів машинобудівних  
спеціальностей ліненої форми  
навчання

Укладач Макарчук Віктор Миколайович

Відповідальний за випуск Учаєв Петро Миколайович

План 1994 р., поз 56

Формат 60x84/16

Обл.-вид.арк. 1,5

Підп. до друку 16.03.94

Замовлення 156

Безкоштовно

Тираж 500 приз.

---

СДУ, 244007, Суми, вул. Римського-Корсакова, 2.

Друкарня ВО "Електрон", 244007, вул. Римського-Корсакова, 2.